## ж.д. давидян

## ИМПУЛЬСНЫЙ ПУСК МОЩНЫХ СИНХРОННЫХ ДВИГАТЕЛЕЙ

Առաջարկված է հգոր սինիսրոն շարժիչների իմպույսային թողարկման Աև։ Նկարագրված է հաշվարկի մեթոդը։ Բերված են իմպոզսային թողարկման ընտթագրերը։

Предложен способ импульсного пуска мощных синхронных двигателей. Описан метод расчета. Приведены характеристики импульсного луска. Ил. 3. Библиого. 4 назв.

Impulse start process of powerful synchronous engines is proposed. The method of calculation is described. Impulse start characteristics are given.

[11], 3. Ret. 4.

Управляемый пуск мощных синхронных двигателей является важной научно-технической проблемой, и от ее рационального решения в значительной степени зависит возможность и техникоэкономическая целесообразность использования мощных синхронных двигателей.

Существующие способы пуска мощных синхронных двигателей имеют заметные педостатки

- асинхронный пуск вызывает многократные электрические, механические и тепловые перегрузки, опасные для целостности машины и сетевой аппаратуры;

- частотный пуск или пуск в режиме вентильного двигателя требуют использования сложных, материалоемких и дорогих тиристорных преобразователей частоты со звеном постоянного тока.

Разработаны принципиально новый способ и устройства импульсного пуска синхронных машин, обладающих заметными преимуществами перед существующими системами пуска [1,2].

Импульсный пуск синхронной машины выполняется следующим образом. Фазы обмотки якоря синхронной машины соединяются непосредственно с сетью переменного тока через пары тиристоров (тиристорный коммутатор). Отпирающие импульсы тиристоров формируются в системе импульсно-фазового управления. Система управления соединена синхронизирующими связями с сетью и с датчиком положения ротора. Индуктор синхронной машины возбуждается постоянным током (рис.1a). При луске в обмотку якоря машины возбужденной непосредственно OT CGIN открывающиеся тиристоры пропускаются единичные импульсы тока, которые синхронизированы с положением ротора. Эти импульсы тока, взаимодействуя с потоком возбуждения ротора, создают импульсы вращающего момента. Когда средний вращающий момент серии импульсов превышает момент сопротивления нагрузки, то ротор приобретает ускорение. Параметры импульсов (длительность, площадь, положение, скважность) плавно регулируются изменением

фазы отпирающих импульсов тиристоров Тем самым регулируется величина якорного тока и врашающего момента. Пуск полностью управляем.

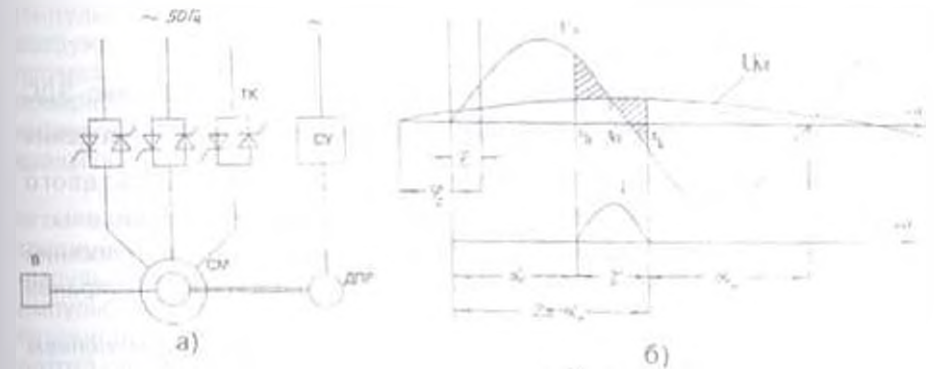


Рис. 1 а - схема импульсного пуска синхронной машины СМ - синхронная машина В - независимый мициинный или статический возбудитель, ТК - тиристорный коммутатор СУ - система управления ДПР - датчик положения ротора 6 - диаграмма напряжений и тока в обмотке якоря

В цели, образованной фазой сети, открытым тиристором и фазой обмотки якоря действует разность напряжения сети U с угловой частотой (и) и напряжения противо-ЭДС машины 1 д с угливой частотой вращения  $\omega$  (рис.16) Направление тоха (полярность) импульсов в фазе обмотки якоря определяется положением ротора в свответствии с сигналами датчика положения ротора. Эти сигналы разрешают включение тиристоров соответствующей группы тиристорного коммутатора (анодной или катодной) так, чтобы милуяьс данного направления создавал положительный вращающий момент. Отпирающие импульсы тиристоров подаются на управляющие электроды в определенные моменты времени с **определенной фазой - углом управления СС относительно нулевой** фазы напряжения сети U В момент подачи отпирающего импульса. при положительном анодном напряжении тиристор открывается и в цепи протекает ток. Поскольку в указанном контуре действует паременное напряжение - разность напряжения сети и противо -ЭДС машины, то ток имеет импульсный характер (рис.1)

В момент времени  $t_{i}$ , когда ток импульса спадает до нулевого значения, происходит естественная коммутация - гиристор звлирается напряжением сети. Ток импульса имеет однополярный верактер.

В общем случае наличия противо-ЭДС  $U_{\rm M}$  (средний и вршающий этапы пуска) и произвольного пространственно-менного положения ротора ток импульса выражается в виде

$$\frac{1}{\omega(L_s + L_m)} \left[\cos\alpha - \cos(\omega t + \phi_1)\right] - \frac{1}{\omega_p(L_s + L_m)} \left[\cos\left(\frac{\omega_p}{\omega}\alpha + \phi_2\right) - \cos(\omega_p t + \phi_2)\right]$$

где  $U_{\rm Sm}$ ,  $U_{\rm Mm}$  - амплитуды напряжений сети и противо-ЭДС машины:  $\omega$ ,  $\omega$  - угловые частоты напряжения сети и вращения ротора:  $L_{\rm S}$ ,  $L_{\rm M}$  - индуктивности фазы сети (сетевого трансформатора) и фазы машины (для явнополюсной машины - функция положения ротора).  $\phi$  - начальные фазы напряжений сети и противо-ЭДС машины:  $\alpha$ - угол управления (угол отпирания тиристоров).

Как следует из выражения для импульсного тока, изменением угла управления α можно регулировать длительность импульса тока, амплитуду импульса, его площадь, соответственно среднее значение тока в обмотке якоря и величину создаваемого импульсом момента, а также величину напряжения, подаваемого на обмотку статора.

Таким образом, угол управления СС является управляющим параметром, изменением которого можно плавно регулировать величину якорного тока и вращающего момента.

Функция момента импульса определяется в виде

$$M_i(t) = Ci_i(t)\Phi \sin \gamma(t)$$
.

где С- конструктивная постоянная машины;  $i_{_1}(t)$ - функция тока импульса;  $\Phi$ - поток возбуждения;  $\gamma(t)$ - угловое положение ротора, выраженное углом между осью полюса индуктора и плоскостью эквивалентного витка обмотки якоря.

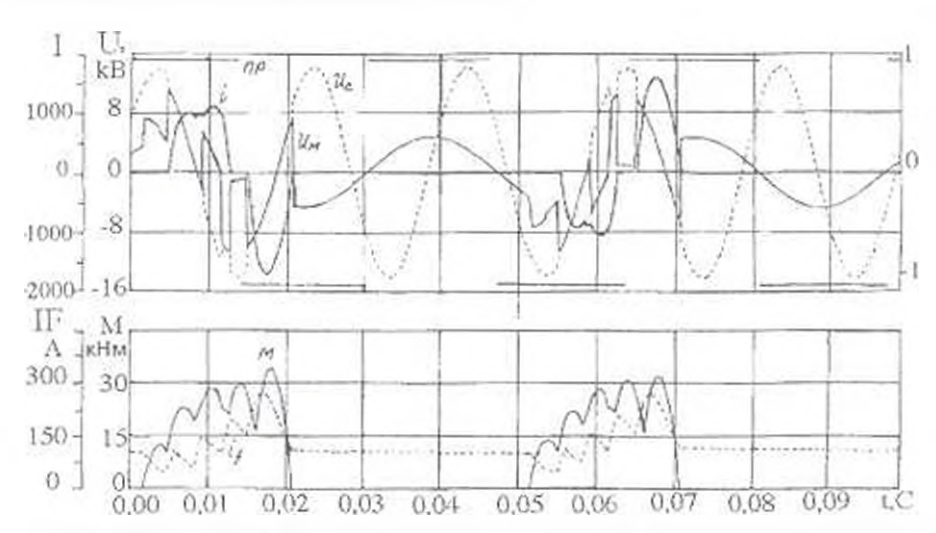


Рис. 2. График миновенных значений параметров при импульсном луске синхронного двигателя типа СТД-12500 мощностью 12,5 МВт

Показан процесс образования импульсов при пуске с использованием всех грех фаз машины при промежуточной частоте вращения 30 Гц (рис. 2). На графиках показаны импульсы тока в иннейной цепи, где суммируются токи смежных фаз машины Импульсы момента создаются от взаимодействия с потоком возбуждения импульсов тока всех фаз машины. В определенные промежутки времени прохождение импульсов запрещается, т.к. полярность их не соответствует полярности полюса на данном интервале. Все импульсы тока создают импульсы положительного вращающего момента.

Разработанный способ импульсного пуска и реализованные на его основе устройства пуска принципиально отличны от градиционных способов и устройств непрерывного управления. При импульсном пуске вращение ротора создается в результате выпульсного взаимодействия потоков обмоток якоря и индуктора, независимо по фазам и по времени, а не в результате вращения потока якоря и "зацепления" возбужденного индуктора, как это имеет место при традиционных способах пуска. Следовательно. исключается необходимость создания в машине вращающегося поля и, соответственно, использования источников трехфазной системы напряжений регулируемой частоты и амплитуды - тиристорных првобразователей со звеном постоянного гока и с двукратным првобразованием энергии.

При указанном способе создания вращающего момента система

приобретает следующие новые свойства и преимущества:

1. Для формирования импульсов тока выполняется непосредственное соединение фазы машины с фазой сети через виристоры.

2. Обеспечивается естественная коммутация гиристоров напряжением сети во всех режимах работы машины, в том числе при неподвижном роторе и малых частотах вращения в начале пуска.

3. Величина напряжения, приложенного к обмотке якоря, и величина тока импульса и момента регулируются в широких пределах посредством угла управления.

Импульсный характер токов и моментов вызывает определенные недостатки импульсного пуска по сравнению с синхронным пуском:

1. Якорная обмотка машины и тиристоры нагружаются импульсным током, поэтому действующие значения токов при импульсном пуске выше, чем при непрерывном частотном пуске.

2. Имеет место более выраженная пульсация вращающего

момента, вызванная импульсным характером процесса.

В [3] разработаны метод и программа расчета и исследований системы импульсного пуска синхронных машин на основе метода анализа электромашинно- вентильных систем (ЭМВС) и программно-вычислительного комплекса [4]. Предложены аппарат математического моделирования и программный комплекс с применением численных методов решения нелинейных выференциальных уравнений, что поэволяет свести разработку математических моделей ЭМВС к последовательности преобразований функций и уравнений по сформулированным тиковым алгоритмам.

Это дает возможность в процессе проектирования и исследования систем импульсного пуска определять статические, динамические характеристики пуска, а также характеристики переходных электрических и электромеханических процессов.

Приведены статические механические характеристики создаваемого среднего вращающего момента, действующих значений токов в обмотке якоря в зависимости от частоты вращения с различными углами управления при импульсном пуске синхронного двигателя типа СТД-800 мощностью 800 кВт, 3000 об/мин (рис. 3).

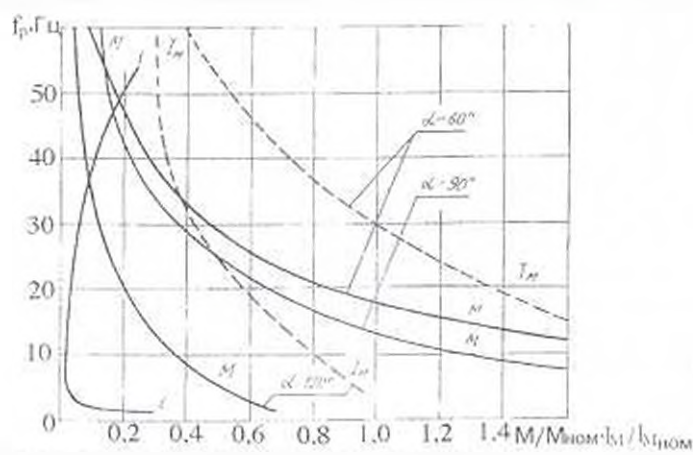


Рис. 3. Статические характеристики моментов и токов якоря при импульсном пуске синхронного двигателя тила СТД-800 мощностью 800 кВт. М. вращающие моменты, 1 момент сопротивления нагрузки,  $I_{\rm M}$  токи якоря

Система импульсного пуска по сравнению с традиционными системами тиристорного частотного пуска имеет меньший состав силового оборудования, массо-габаритные характеристики которого и стоимость ~ в 2...3 раза меньше.

На основе проведенных исследований во ВНИИЭлектромаш (г. С.-Петербург) разработаны опытные образцы устройств импульсного пуска ряда синхронных машин, а также выполнены расчеты и проектные разработки систем импульсного пуска мощных синхронных двигателей для ряда объектов и промышленных предприятии.

## **ЛИТЕРАТУРА**

- 1. **А.с.** № 1131002 СССР, Н 02Р 1/50 Устройство для пуска синхронной машины / **Ж.Д. Давидян, Г.Н.Тер-Газарян** (СССР). 1984. Бюл. № 47. 3 с.
- 2. Овчинников И.Е., Тер-Газарян Г.Н., Давидян Ж.Д., Рябов В. Слособ импульсного пуска синхронных машин // Электротехника. 1987 № 3. С. 33-36.
- 3. Давидян Ж.Д., Плахтына Е.Г., Полюга Л.Н. Исследование алгоритмов и статических характеристих импульсного пуска синхронной машины на

• Пемической модели с помощью программно-вычислительного комплекса У Темическая электродинамика. - Киев. 1991. № 1. - С.

4 Плахтына Е.Г. Математическое моделирование электромашинновантильных систем. - Львов: Вища школа, 1986 -164 с.

ГИУА 10.04.1998

Изв. НАН и ГИУ Армении (сер. ТН), т. L1, № 2, 1998, с. 195-202.

УДК 621.315.2

**ЭЛЕКТРОТЕХНИКА** 

А.А. КАРАПЕТЯН, Ж.М. МИРЗАБЕКЯН

## РАСЧЕТ И ИССЛЕДОВАНИЕ ЭЛЕКТРИЧЕСКОГО ПОЛЯ КАБЕЛЯ С ПАРАЛЛЕЛЬНО РАСПОЛОЖЕННЫМИ ЖИЛАМИ БЕЗ МЕТАЛЛИЧЕСКОЙ ОБОЛОЧКИ

Շարադրվում են առանց մետաղական պատանի գուցահեռ փոված ջղերով եռաֆազ կայեփ կնկորական լարվածության որոշման մեթոդն ու տեսաթյունը և նամեմատվավ ոլորված և մետաղական պատյանում տեղագրված երեք չդերի հետ։ Մեթոդը հեազավորություն և սայիս որոշելու մեկուսացված ֆազերի լայսկածության կախումը նրանց միջև եղած հետակորությունից։

Излагаются теория и метод определения напряженности электрического поля парадлельно расположенных жил трахфазного кабеля без металлической оболочки. Проводится их сравнение с тремя скрученными и расположенными выпаллической оболочке жилами. Метод дает возможность определить параженности изолированных фаз от расстояния между ними

Ил.4. Библиогр.: 3 назв.

The theory and method of definition for electrical field intensity in three-phase cable with parallel located phases and without a metallic jacket is proposed. The method gives an opportunity to define the dependence of isolated phase intensity on the distance between them.

1//. 4, Ref. 3.

В кабелях с металлической оболочкой часто происходят шежфазовые короткие замыкания, приводящие к прекращению шергоснабжения. Причиной коротких замыканий являются также бауждающие токи, которые создают цель с металлической оболочкой и со временем разрушают ее. Учитывая, что себестоимость шеталлических оболочек, особенно свинцовой, очень высокая, шется настоятельная потребность для нахождения такого типа и шето расположения фаз кабелей, который будет свободен от шетверечисленных недостатков.

Целью настоящей работы является разработка метода определения напряженности электрического поля параллельно наположенных жил трехфазного кабеля без металлической болочки. Показаны параллельно расположенные три отдельно полированные жилы (рис.1), которые находятся друг от друга на